

Physique subatomique

Théorie quantique des champs

La QFT est une théorie très réductionniste. L'idée est de comprendre le monde à partir de l'échelle la plus petite possible.

Remarque (Historique/Paradigme)

Démocrite à la première théorie "réductionniste". Il pense que les atomes sont agencé de manière aléatoire (non divine). Il pense que tout les atomes sont différents. Un théorie qui s'y oppose est la théorie des élément qui viennent seulement en 4 types mais ou tout est continue.

Ces deux théorie on été "combinée" par Dalton qui parlait d'atome d'un nombre de type fini.

En théorie quantique des champs est très continue. Des champs émane les particules et non le contraire.

Il existe une correspondance en QFT entre les types de particules (ex. électrons). et les champs. Il y a deux grandes catégories de champs (particules donc) : les fermions (qui ont un spin demi-entier) et les bosons (qui ont un spin entier). Les fermions sont beaucoup moins "classiques" que les bosons.

Familles				
	Q	1	2	3
Leptons	0	ν_e	ν_μ	ν_τ
	-1	e	μ	τ
Quarks	$\frac{2}{3}$	u	c	t
				b
	$-\frac{1}{3}$	d	s	

FIGURE 1 – fermions

Il est impossible d'isoler un quark seul. On ne peut qu'observer des combinaisons de quarks.

Tout les fermions sont décrits par l'équation de Dirac. Au contraire, les bosons sont décrits par des théories de Gauge. Bien que ces transformation de Gauge soient présenté comme relativement peut importante dans le cadre de l'électromagnétiste,

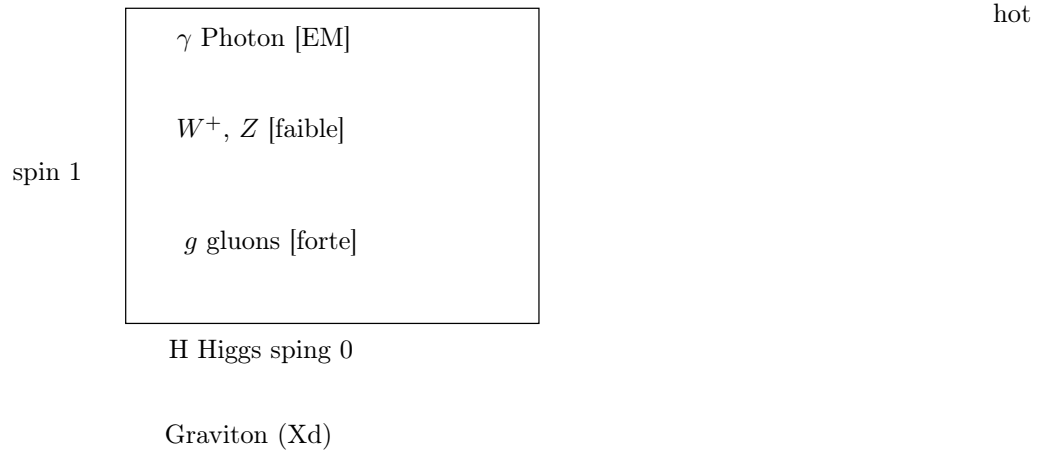


FIGURE 2 – bosons

c'est le fondement de la QFT.

Toutes les particules en QFT ont une antiparticule qui leur est associée, bien que les bosons soient pour la plupart leur propre anti-particule (sauf $W^+ \leftrightarrow W^-$)

Les champs sont toujours dans leur état fondamental, sauf lorsqu'il y a des particules. L'exception à cette règle est le champ de Higgs qui a une valeur constante non-nulle.

Les masses

Remarque (unités)

On n'utilise pas le système SI dans le cadre de la QFT. Les masses sont plutôt exprimées en MeV. On utilise également souvent les unités naturelles ($c = 1$ $\hbar = 1$). Le fait que $c = 1 \implies$ on ne fait pas de différence entre longueur et temps. $\hbar = 1 \implies E = \omega$. Comme tout peut finalement s'exprimer en énergie on prend une unité d'énergie : le MeV.

$(q, q, q) \leftrightarrow$ baryons (sont des fermions)

proton $\rightarrow uud \sim 238\text{MeV} \sim 1\text{GeV}$

neutron $\rightarrow udd \sim 237\text{MeV}$

mesons $\rightarrow q\bar{q}$ (sont des bosons)

pions $\pi^0 : u\bar{u} \quad \pi^+ : u\bar{d} \quad \pi^- : \bar{u}d$

Les muons : on deux cents fois la masses de l'électron.

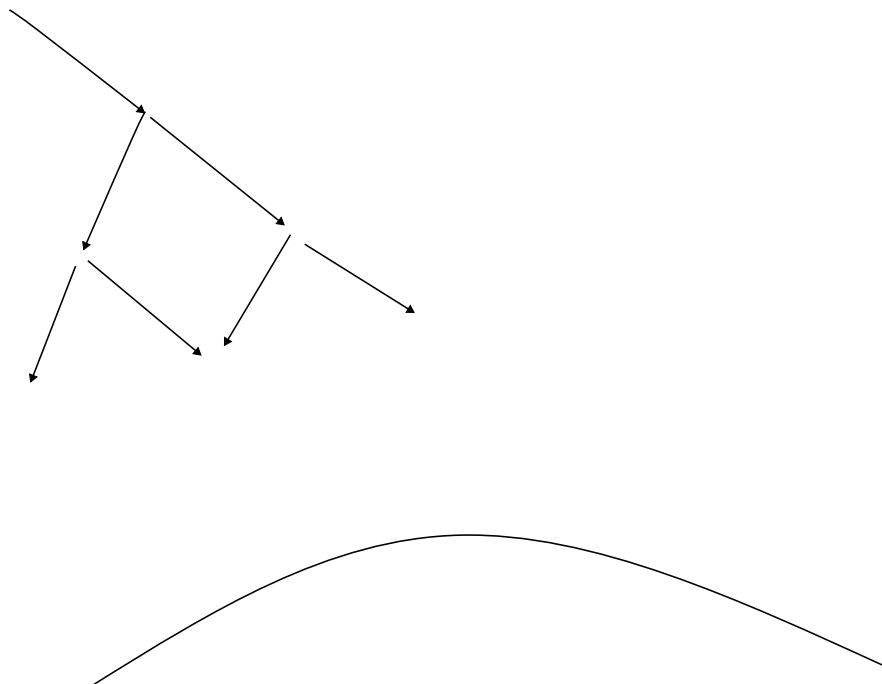


FIGURE 3 – pluie

Rappels sur la relativité

quadrivecteur :

$$x = (t, x, y, z)$$

$$x^\mu = [t, x, y, z]$$

$$p^\mu = [E, p]$$

$$k^\mu = [\omega, k] = \frac{1}{\hbar} p^\mu$$

$$j^\mu = [p, \vec{j}]$$

$$\partial_\mu = [\frac{\partial}{\partial t}, \nabla]$$

$$A'^\mu = \Lambda^\mu_\nu A^\nu \text{ Contravariant}$$

$$A'_\mu = (\Lambda^{-1})^\nu_\mu A_\nu \text{ Covariant}$$

$$A_{\mu\nu} = g_{\nu\mu} A^\nu \quad A^\mu = g^{\nu\mu} A_\nu$$

Où g est le tenseur métrique.

Quadri-vecteur :

$$\partial_{\mu\nu} j^\mu(x) = \partial'_\mu j'^\mu \text{ scalaire (donc invariant)}$$

Action je crois

$$S = \int_{t_i}^{t_f} dt \frac{1}{2} m \mathbf{v}^2(T) \quad \text{non-relativiste}$$

$$\rightarrow -m \int_A^V d\tau = -m \int_A^B dt \sqrt{1 - \mathbf{v}^2} = -m \int_A^B dt \left\{ 1 - \frac{1}{2} \mathbf{v}^2 + \frac{12}{\mathbf{v}^2} - \dots \right\} = -m(t_B - T_a) + \frac{1}{2} \int_A^B d\tau m \mathbf{v}^2 - \dots$$

$$L = -m \sqrt{1 - \mathbf{v}^2}$$

$$\mathbf{p} = \frac{\partial L}{\partial \mathbf{v}} = \frac{m \mathbf{v}}{\sqrt{1 - \mathbf{v}^2}}$$

$$H = \mathbf{p} d\mathbf{v} - L = \frac{m \mathbf{v}^2}{\sqrt{1 - v^2}} + m \sqrt{1 - v^2} = \frac{m}{\sqrt{1 - \mathbf{v}^2}} = \sqrt{\mathbf{p}^2 + m^2}$$

4-impulsion

$$p^\mu = (E, \mathbf{p}) = m u^\mu$$

$$u^\mu = \frac{dx^\mu}{d\tau} = \left(\frac{dt}{d\tau}, \frac{d\mathbf{r}}{d\tau} \right) = \left(\frac{1}{\sqrt{1 - v^2}}, \frac{\mathbf{v}}{\sqrt{1 - v^2}} \right)$$

Invariant associé au quadri-vecteur

$$p^\mu p_{\mu} = p^2 = E^2 - \mathbf{p}^2 = m^2 \overset{1}{\cancel{v^2}} = m^2$$

$$p^2 = m^2$$

$$\mathbf{v} = \frac{\mathbf{p}}{E}$$

$$\text{masse nulle} \rightarrow p^2 = 0 \rightarrow T = |\mathbf{p}|$$

$$p_\pi = (m_\pi, \mathbf{0})$$

$$p_\pi = p_\mu + p_\nu$$

$$p_\nu = p_\pi - p_\mu$$

$$p_\nu^2 = p_\pi^2 + p_\mu^2 - 2p_\pi p_\mu$$

$$0 = m_\pi^2 + m_\mu^2 - 2m_\pi E_\mu$$

$$E_\mu = \frac{m_\pi^2 + m_\mu^2}{2m_\pi}$$

$$E_{nu} = m_\pi - E_\mu = \frac{m_\pi^2 - m_\mu^2}{m_\pi} = |\mathbf{p}_\nu| = |\mathbf{p}_\nu|$$

$$|\mathbf{v}_\mu| = \frac{m_\pi^2 - m_\mu^2}{m_\pi^2 - m_\mu^2}$$

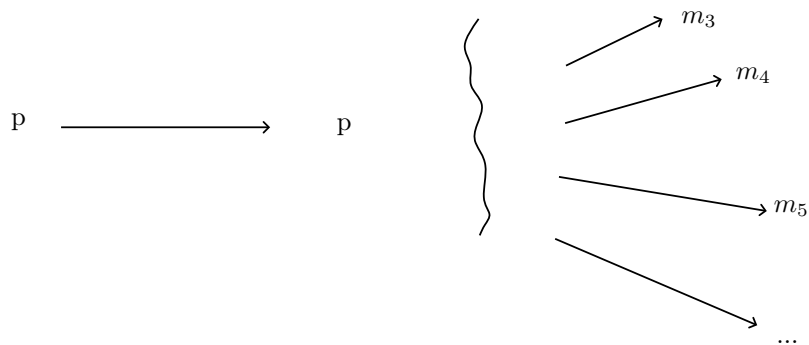


FIGURE 1 – proton incident

Énergie de seuil ? (Plus d'Énergie cinétique à la fin)

$$E = \sum_{i=3}^N m_i$$

$$p_1^\mu + p_2^\mu = \sum_{i=3}^N p_i^\mu$$

$$(p_1^\mu + p_2^\mu)^2 = \left[\sum_{i=3}^N p_i^\mu \right]^2 = \left(\sum_{i=3}^N m_i \right)^2$$

au seuil $p_i = (m_i, \mathbf{0})$

$$E_p = \frac{M_{\text{tot}}^2 - 2m_p^2}{2m_p}$$

L'énergie requise va comme le carré des masses.

Unités naturelles

$$\hbar c = 197 \text{MeV} \cdot \text{fm}$$

$$\frac{\hbar c}{m_e c^2} = \frac{197 \text{MeV} \cdot \text{fm}}{0,511 \text{MeV}} = 400 \text{fm} \quad \text{longueur d'onde de Compton}$$

Constante de structure fine

$$\alpha = \frac{e^2}{4\pi\hbar c} \sim \frac{1}{137}$$

Heaviside-Lorentz

$$\epsilon_0 = 1 \quad \mu_0 = 1$$

$$\frac{\alpha \hbar}{m_e c} = \frac{e^2}{4\pi m_e c^2} = \text{rayon classique de l'électron}$$

$$\frac{\hbar}{m_e \alpha c} = \frac{4\pi \hbar c \hbar}{e^2 m_e c} = \frac{4\pi \hbar^2}{m_e e^2} = \text{rayon de bohr}$$

onde plane

$$\psi(\mathbf{r}) = \frac{1}{\sqrt{\nu}} e^{i\mathbf{p} \cdot \mathbf{r}}$$

Condition au limite périodiques à l'univers (une boîte bien sûr)

$$e^{ip_x L_x} = 1$$

$$\mathbf{p} = 2\pi \left(\frac{n_x}{L_x}, \frac{n_y}{L_y}, \frac{n_z}{L_z} \right)$$

où $n \in \mathbb{Z}$

$$\Delta p_x = \frac{2\pi}{L_x} \leftrightarrow \Delta n_x = 1$$

$$\Delta p_x \Delta p_y \Delta p_z = \frac{(2\pi)^3}{L_x L_y L_z} = \frac{(2\pi)^3}{\nu}$$

$$\sum_{\mathbf{p}} f_{\mathbf{p}} = \nu \int \frac{dP}{(2\pi)^3} f_{\mathbf{p}}$$

$$\langle \mathbf{p}' | \mathbf{p} \rangle = \delta_{\mathbf{p}\mathbf{p}'} \& \sum_{\mathbf{p}} |\mathbf{p}\rangle \langle \mathbf{p}| = \mathbb{1}$$

$$\langle \mathbf{r} | \mathbf{p} \rangle = \frac{1}{\sqrt{\nu}} e^{i\mathbf{p} \cdot \mathbf{r}}$$

$$\delta_{\mathbf{p}\mathbf{p}'} \rightarrow \frac{(2\pi)^3}{\nu} \delta(\mathbf{p} - \mathbf{p}')$$

$$\text{Normalisation continue} \begin{cases} \langle \mathbf{p}' | \mathbf{p} \rangle = (2\pi)^3 \delta(\mathbf{p} - \mathbf{p}') \\ \int \frac{d^3 P}{(2\pi)^3} \langle \mathbf{p} | \mathbf{p} \rangle = \mathbb{1} \end{cases}$$

On a le problème que $d^3 P$ n'est pas invariant de Lorentz

$d^3 p dp^0$ en revanche l'est

$$d^3 \gamma dt = d^4 x = d^4 x'$$

Le Jacobien

$$J = 1$$

$$\int \frac{d^3 P}{(2\pi)^3} \rightarrow \int \frac{d^4}{(2\pi)^3} \delta(p^2 - m^2) \theta(p^0)$$

$$\int \frac{d^4 P}{(2\pi)^3} \delta((p^0 - E_{\mathbf{p}})(p^0 + E_{\mathbf{p}})) \Theta(p^0)$$

$$E_{\mathbf{p}} = \sqrt{\mathbf{p}^2 + m^2}$$

$$\delta(\beta x) = \frac{1}{|\beta|} \delta(x)$$

$$\int \frac{d^4 P}{(2\pi)^3 2E_p} \delta(p^0 - E_p) = \int \frac{d^3 P}{(2\pi)^3 2E_p}$$

$$\text{Normalisation relativiste} \begin{cases} \int \frac{d^3 P}{(2\pi)^3 2E_p} \langle \mathbf{p} | \mathbf{p} \rangle = \mathbb{1} \\ \langle \mathbf{p} | \mathbf{p}' \rangle = 2E_{\mathbf{p}} \delta(\mathbf{p} - \mathbf{p}') (2\pi)^2 \end{cases}$$

Exercice : Effet compton

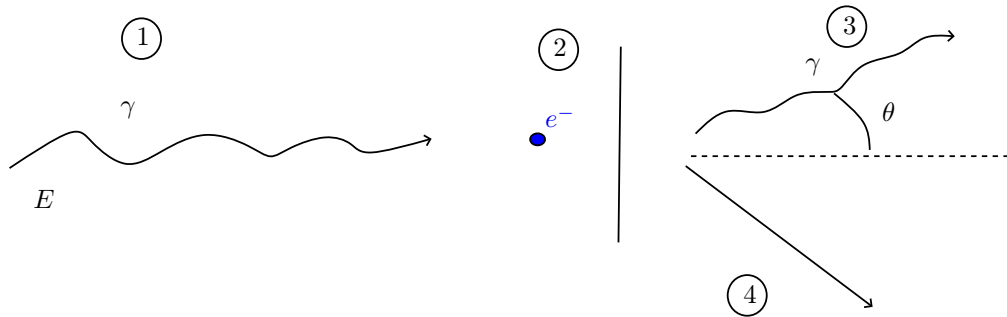


FIGURE 1 – effet compton

Formulation en termes de 4-vecteur :

$$p_1 + p_2 = p_3 + p_4$$

$$(p_1 + p_2 - p_3)^2 = p_4^2 = m^2$$

$$p_1^2 + p_2^2 + p_3^2 + 2p_1p_2 - 2p_1p_3 - 2p_2p_3 = m^2$$

$$p_1p_2 = p_1^0p_2^0 - \mathbf{p}_1 \cdot \mathbf{p}_2 = Em$$

$$p_1p_3 = EE' = \mathbf{p}_1\mathbf{p}_2 = EE' - EE' \cos \theta = EE'(1 - \cos \theta)$$

$$0 + m^2 + 0 + 2Em - 2EE'(1 - \cos \theta) - 2E'm = m^2$$

$$\frac{1}{E'} - \frac{1}{m}(1 - \cos \theta) - \frac{1}{E} = 0$$

$$\frac{1}{E'} = \frac{1}{E} + \frac{1}{m}(1 - \cos \theta)$$

$$\frac{1}{E} = \frac{1}{|\mathbf{k}|} = \lambda = \frac{\lambda}{2\pi}$$

$$\Rightarrow \lambda' = \lambda + \underbrace{\frac{1}{m}}_{\lambda_c} (1 - \cos \theta)$$

Désintégration

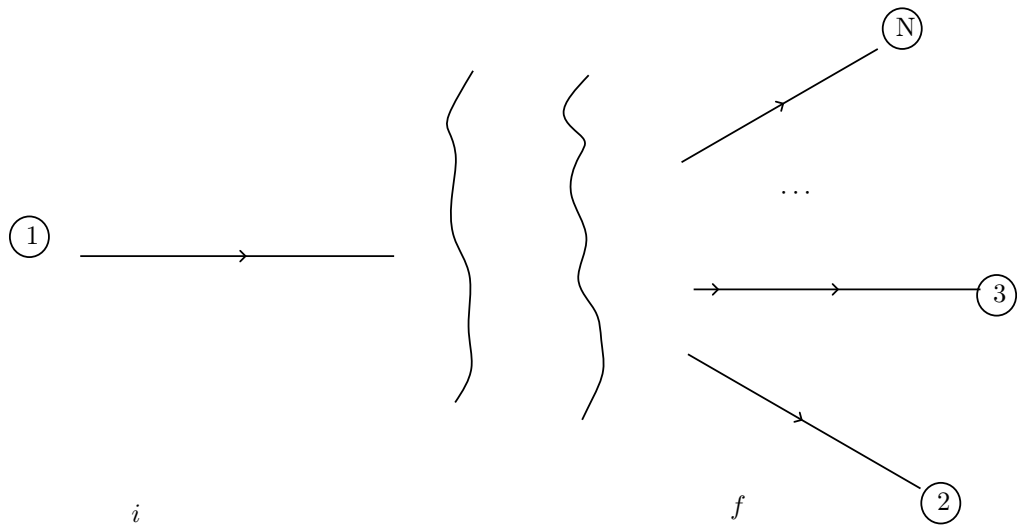


FIGURE 2 – Désintégration

Règle d'or de Fermi

$$\Gamma_{i \rightarrow f} = 2\pi |M_{fi}|^2 \delta(E_i - E_f)$$

$$M_{fi} = \langle f | V | i \rangle + \sum_n \frac{\langle f | V | n \rangle \langle n | V | i \rangle}{E_i - E_n + i0^+} + \sum_{n,m} \frac{\bar{f} V | n \rangle \langle n | V | m \rangle \langle m | V | i \rangle}{(E_i - E_0 + i0^+) (E - E_m + i0^+)} + \dots$$

La désintégration est un processus irréversible car il y a beaucoup plus d'état désintégré qu'autrement $\implies \Delta S > 0$

$$d\Gamma = 2\pi |M_{fi}|^2 \frac{d^3 P_2}{(2\pi^3)} \frac{d^3 P_3}{(2\pi^3)} \dots \frac{d^3 P_N}{(2\pi^3)} \delta(E_1 - E_2 - E_3 - \dots - E_N)$$

$$M_{fi} = \mathcal{M} \delta_{\mathbf{p}_1 - \mathbf{p}_2 - \dots}$$

$$\implies d\Gamma = 2\pi |\mathcal{M}_{fi}|^2 (2\pi)^2 \delta(\mathbf{p}_1 - \mathbf{p}_2 - \dots - \mathbf{p}_N) \delta(E_1 - E_2 - \dots - E_N) \frac{d^3 P_2}{(2\pi^3)} \frac{d^3 P_3}{(2\pi^3)} \dots \frac{d^3 P_N}{(2\pi^3)}$$

$$= (2\pi)^4 \delta^4(p_1 - p_2 - p_3 - \dots - p_N) |\mathcal{M}_{fi}|^2 \frac{d^3 P_2}{2E_2 (2\pi)^3} \frac{d^3 P_n}{2E_n (2\pi)^3} \frac{1}{2E_1} \quad \text{N.C. N.R.}$$

La normalisation relativiste implique que le taux de transition est un invariant relativiste.

Désintégration à deux corps

$$d\Gamma = |M_{fi}|^2 \frac{1}{2E_1} \frac{dp_2}{(2\pi)^3 2E_2} \frac{d^3 P_3}{(2\pi)^3 2E_3} (2\pi)^4 \delta^4(p_1 - p_2 - p_3)$$

Référentielle de la particule 1

$$E_1 = m_1$$

intègre sur $d^3 p_3 \rightarrow \delta(\mathbf{p}_1 \overset{0}{\leftarrow} \mathbf{p}_2 - \mathbf{p}_3)$

$$\mathbf{p}_3 \rightarrow -\mathbf{p}_2$$

$$d^3 p = p^2 dp d\Omega$$

$$\Gamma = \frac{1}{8\pi m_1} \int p^2 dp |M_{fi}|^2 \frac{\delta(m_1 - \sqrt{p^2 + m_2^2} - \sqrt{p^2 + m_3^2})}{\sqrt{\sqrt{p^2 + m_2^2} + \sqrt{p^2 + m_3^2}}}$$

Nouvelle variable d'intégration $E = \sqrt{p^2 + m_2^2} \sqrt{p^2 + m_3^2}$

$$\Gamma = \frac{1}{8\pi m_1} \int_{m_2+m_3}^{\infty} dE \frac{p}{E} \delta(m_1 - E) |M_{fi}|^2 = \frac{1}{8\pi m_1^2} |M_{fi}|^2 \Big|_{E=m_1} |\mathbf{p}_2|$$

$$(m_1 > m_2 + m_3)$$

Loi exponentielle

$N(t)$: Nombre de particules

$$N(t + dt) = N(t) - N\Gamma dt$$

$$\frac{dN}{dt} = -\Gamma N \rightarrow N(t) = N(0)e^{-\Gamma t}$$

vie moyenne : $\tau \equiv \frac{1}{\Gamma}$

demi-vie : $t_{1/2} = \tau \ln 2$

$$\tau \Delta E \sim 1$$

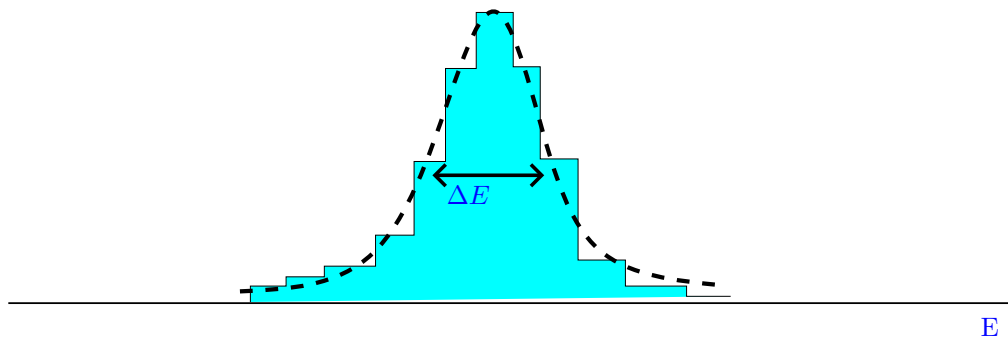


FIGURE 3 – histogramme avec pic

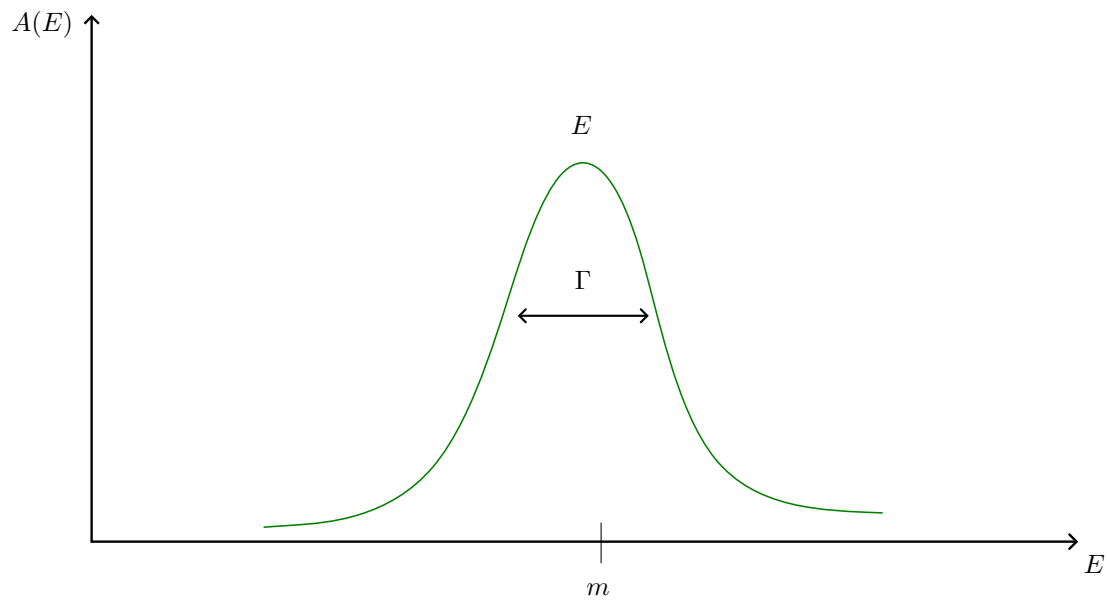


FIGURE 4 – blip bloup

$$A(E) = \frac{1}{2\pi} \frac{\Gamma}{(E - m^2)^2 + \frac{\Gamma^2}{4}}$$

Section Efficace : Brève révision

$$\Phi : \text{Flux} \quad \frac{\# \text{ de particules}}{\text{surface} \cdot \text{temps}}$$

$$\frac{d\sigma}{d\Omega} = \text{Section différentiable}$$

$$\sigma = \int d\Omega \frac{d\sigma}{d\Omega} = \text{Section efficace}$$

Section différentielle de diffusion

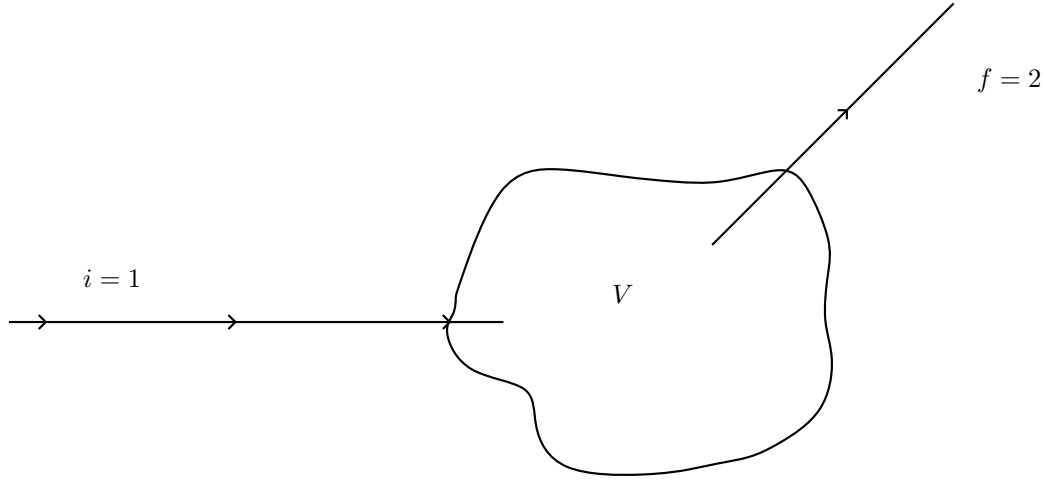


FIGURE 1 – diffusion par un potentiel fixe

$$\frac{d\sigma}{d\Omega} = \frac{1}{\Phi} \frac{d\Gamma}{d\Omega}$$

$$\Gamma = 2\pi \frac{1}{\nu} \int \frac{d^3 P_f}{(2\pi)^3} |M_{fi}|^2 \delta(E_2 - E_1)$$

L'intégrale deviens, en coord sphérique :

$$\frac{1}{\nu} \int \frac{p_2^2 dp_2 d\Omega}{(2\pi)^3}$$

Non relativiste : $E_2 = \frac{p_2^2}{2m}$

$$dE_2 = \frac{p_2}{m} dp_2$$

$$\frac{d\Gamma}{d\Omega} = \frac{1}{(2\pi)^3} \nu \int |M_{fi}|^2 p_2 m dE_3 \delta(E_2 - E_1) = \frac{1}{(2\pi)^3} \nu |M_{fi}|^2 |\mathbf{p}| m$$

$$\frac{d\sigma}{d\Omega} = \left(\frac{m}{2\pi}\right)^2 \nu^2 |M_{fi}|^2$$

$$\text{Flux} : \rho \underbrace{v}_{\text{vitesse} = \frac{|\mathbf{p}|}{m}}$$

$$M_{fi} = \langle f | V | i \rangle = \langle \mathbf{p}_2 | V | \mathbf{p}_1 \rangle = d^3r \langle \mathbf{p}_2 | \mathbf{r} \rangle V(\mathbf{r}) \langle \mathbf{r} | \mathbf{p}_1 \rangle$$

$$= \frac{1}{\nu} \int d^3r e^{-i(\mathbf{p}_2 - \mathbf{p}_1) \cdot \mathbf{r}}$$

$$= \frac{1}{\nu} \tilde{V}(\underbrace{\mathbf{p}_2 - \mathbf{p}_1}_{\mathbf{q} = \text{transfert de } p})$$

$$\boxed{\frac{d\sigma}{d\Omega} = \left(\frac{m}{2\pi}\right)^2 |\tilde{V}(\mathbf{q})|^2}$$

Exemple : Loi de Coulomb

$$V(\mathbf{r}) = \frac{e_1 e_2}{4\pi r}$$

$$\nabla^2 \phi = -\delta(\mathbf{r}) \quad \phi(\mathbf{r}) = \frac{1}{4\pi r}$$

$$-\mathbf{q}^2 \tilde{\phi}(\mathbf{q}) = -1 \rightarrow \tilde{\phi}(\mathbf{q}) = \frac{1}{|\mathbf{q}|^2}$$

$$\mathbf{q}^2 = \dots 4 = \mathbf{p}^2 \sin^2 \frac{\theta}{2}$$

$$\frac{d}{d\Omega} = \left(\frac{m e_1 e_2}{8\pi p^2}\right)^2 \text{cosec}^4 \frac{\theta}{2}$$

$$\sigma = \int d\Omega \frac{d}{d\Omega} \rightarrow \infty$$

distribution de charge

$$V(\mathbf{r}) = \frac{e_1 e_2}{4\pi r} \rightarrow \frac{e_1 e_2}{4\pi r} \int d^3r' \frac{\rho(\mathbf{r}')}{|\mathbf{r} - \mathbf{r}'|}$$

c'est une convolution !

$$\tilde{V}(\mathbf{q}) = \frac{1}{|\mathbf{q}|^2} \tilde{\rho}(\mathbf{q})$$

On obtiens donc un simple facteur de correction

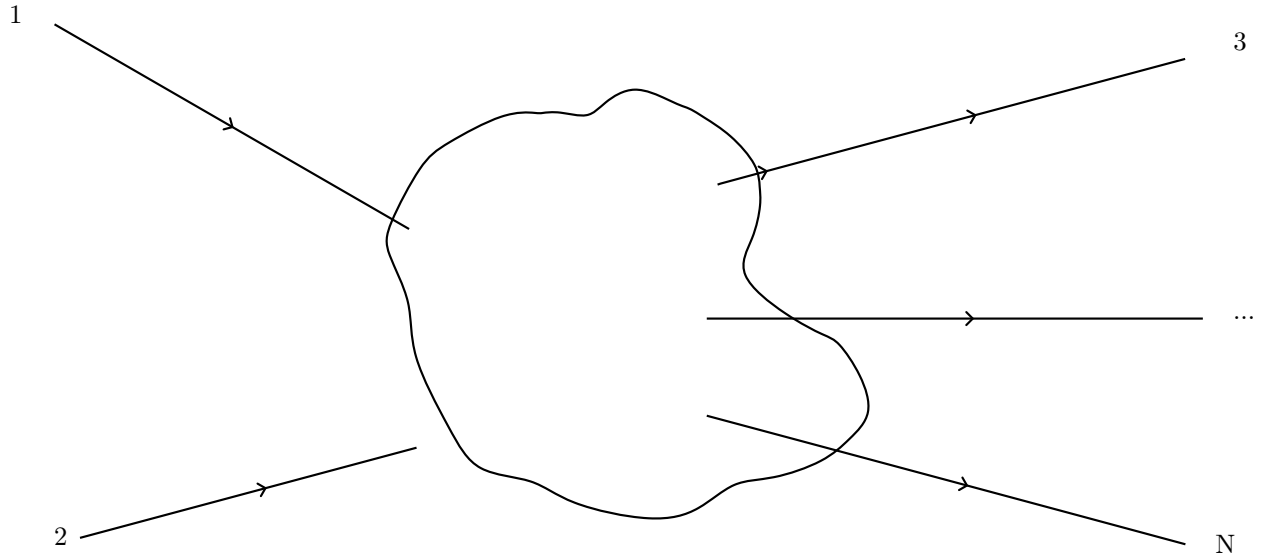


FIGURE 2 – diffusions à plusieurs particules

Diffusion à plusieurs particules

$$d\Gamma = |\mathcal{M}_{fi}|^2 \frac{d^3P}{(2\pi)^3} (2\pi)^4 \delta^4(p_{1+p_2} - p_3 - p_4 - \cdots - p_N) \quad [\text{N.C.}]$$

$$\text{NC} \rightarrow \text{NR} \quad |\mathbf{p}\rangle_{\text{NC}} = \frac{1}{\sqrt{2E}} |\mathbf{p}\rangle_{\text{NR}}$$

$$d\sigma = |\mathcal{M}_{fi}|^2 \frac{E_1}{|\mathbf{p}|} \frac{d^3p_3}{(2\pi)^3} \cdots$$

On veut trouver une quantité qui est égale à \mathbf{p}_1 dans le référentiel du laboratoire mais est aussi un invariant

$$\left(\underbrace{\mathbf{p}_1}_{(E_1, \mathbf{p}_1)} \cdot \underbrace{\mathbf{p}_2}_{(m_2, \mathbf{0})} \right)^2 - (m_1 m_2)^2$$

$$E_1^2 m_2^2 - m_1^2 m_2^2 = (E_1^2 - m_1^2) m_2^2 = \mathbf{p}_1^2 m_1^2 (m_2, \mathbf{0})$$

$$d = |\mathcal{M}_{fi}|^2 \frac{1}{4\sqrt{(p_1 p_2)^2 - (m_1 m_2)^2}} \frac{d^3 p_2}{2E_3 (2\pi)^3} \cdots (2\pi)^4 \delta(p_1 + p_2 - p_3 - \cdots - p_N)$$

Résonances & masse invariante

Masse invariante de N particules

$$M^2 = \underbrace{(p_1 + p_2 + \cdots + p_N)^2}_{p_{\text{tot}}^2} = (E_1 + \cdots + E_n)^2 - (\mathbf{p}_1 + \mathbf{p}_2 + \cdots + \mathbf{p}_N)^2$$

$$\rho(E) = \frac{1}{2\pi} \frac{\Gamma}{(E - M)^2 + \left(\frac{\Gamma}{2}\right)^2}$$

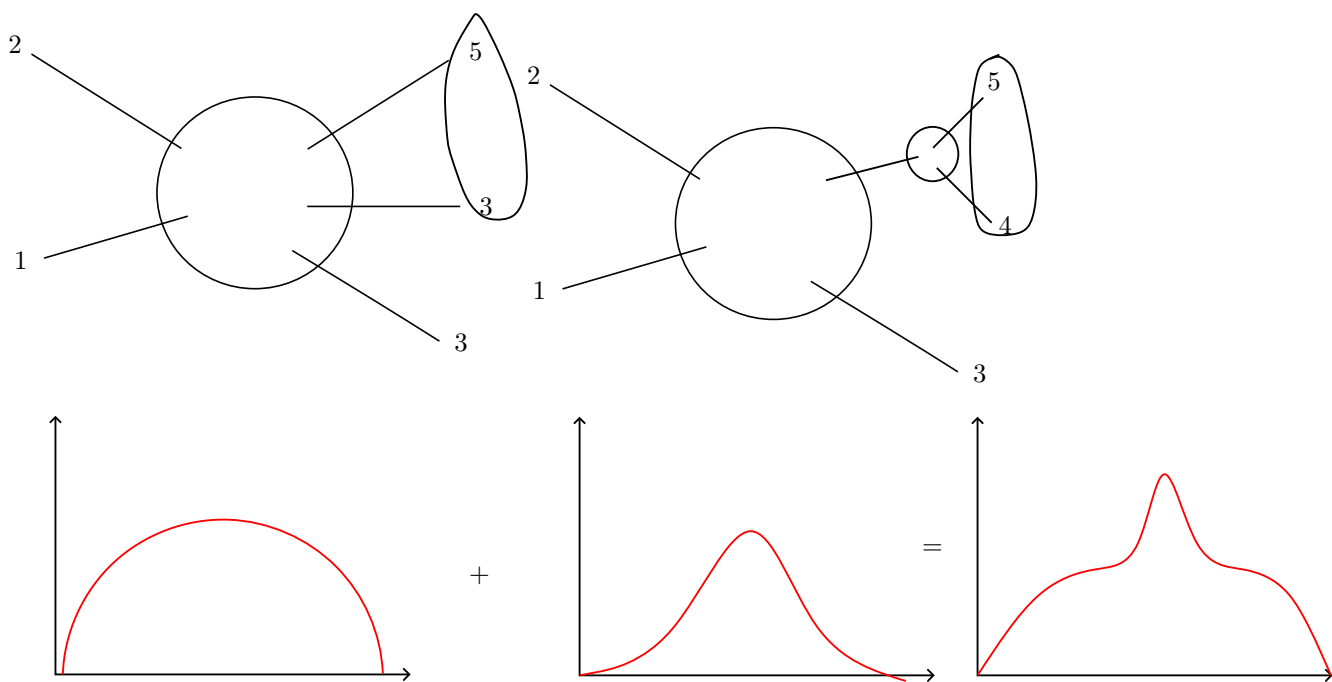


FIGURE 3 – Désintégration 2

Chaîne de masse μ

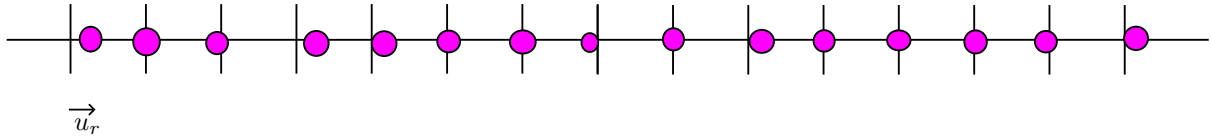


FIGURE 4 – Chaîne de masse

$$\mathcal{L} = \frac{1}{2}\mu \sum_{r=1}^N \left\{ \dot{u}_r^2 - \Omega^2 u_r^2 - \Gamma^2 (u_r - u_{r+1})^2 \right\}$$

$$\frac{d}{dt} \frac{\partial \mathcal{L}}{\partial \dot{u}_r} - \frac{\partial \mathcal{L}}{\partial u_r} = 0$$

On tourne la manivelle :

$$\omega_q = \sqrt{\Omega^2 + 2\Gamma^2(1 - \cos q)}$$

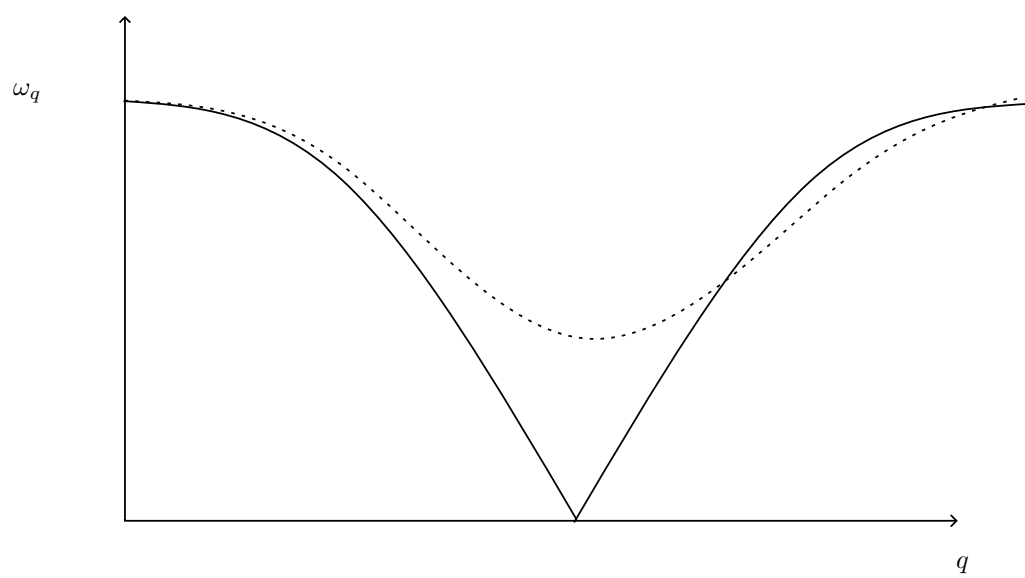


FIGURE 5 – relation de dispersion

2022-09-15

Accélérateur et détecteur de particules

Sources naturelles

Avant les collisionneurs, on utilisait des sources naturelles de particules

- rayons α, β, γ
 - noyaux instables
- $\sim 100 - 200 \text{ keV}$. (*Max de quelques MeV*)
- rayons cosmiques
 - énergie jusqu'à 10^{19} eV mais incontrôlables
 - surtout des protons
 - pas de consensus sur les origines

Générateur de Cockroft-Walton

- AC \rightarrow DC
- Initialement utilisé comme accélérateur
- Encore utilisé comme premier stage
- max 1 MeV
- Courant dans les appareils à rayons x

Générateur van de Graaf

10-20 MeV avec pression de gaz inerte

Accélérateur tandem

(Accélérer en attirant puis en repoussant) 30 à 40 MeV

Accélérateurs linéaires (LINAC)

- Utilisé dans tous les complexes comme injecteurs
- Peu de pertes radiatives
- SLAC (Stanford) $\sim 50 \text{ GeV}$ (e^-)

Cavité accélératrice

Cavité en Mode TM

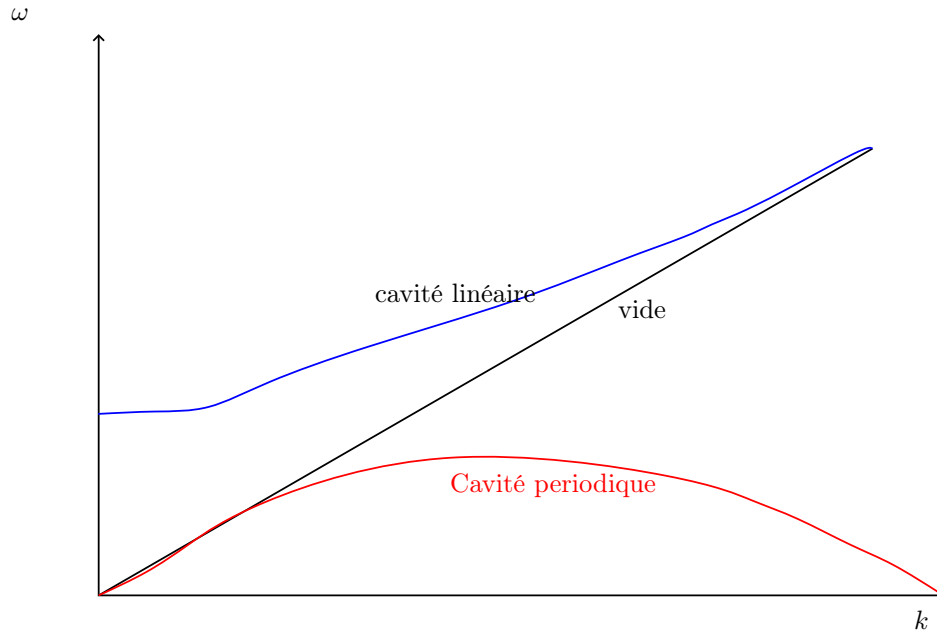


FIGURE 1 – relations de dispersion

Pertes radiatives

100 MeV par tours

Cyclotron

Principe de l'indépendce de la fréquence vs Énergie

Ne marche plus dans le domaine relativiste

$$\gamma \sim 1.5$$

Syncotrons

Éléments discrets

- aiment dipolaire
- aiment quadripolaire
- cavité EM.

Champ B et fréquence sont ajustés.

Focalisaton Magnétique

On peut focaliser un flux de particules avec des quatrupoles magnétiques alternants.

Collisionneurs

Deux faisceaux de sens opposés.

Maximise l'énergie disponible lors de la création de particules

Pertes par ionisation des particules chargées

Formule de Bethe

Absorption des rayons gamma

- Compton
- Photoélectrique
- Pair

Chambre à fils

Scintillateur

Détecteurs à état solide

Laboratoires

Diffusion de Neutron de basse énergie (1KeV)

Le neutron est incident sur un noyau de rayon de 5fm

$$\frac{d}{d\Omega} \left| \tilde{V}(\mathbf{q}) \right|^2$$

$$\boxed{\mathbf{q}^2 = 4\mathbf{p}^2 \sin^2 \frac{\theta}{2}}$$

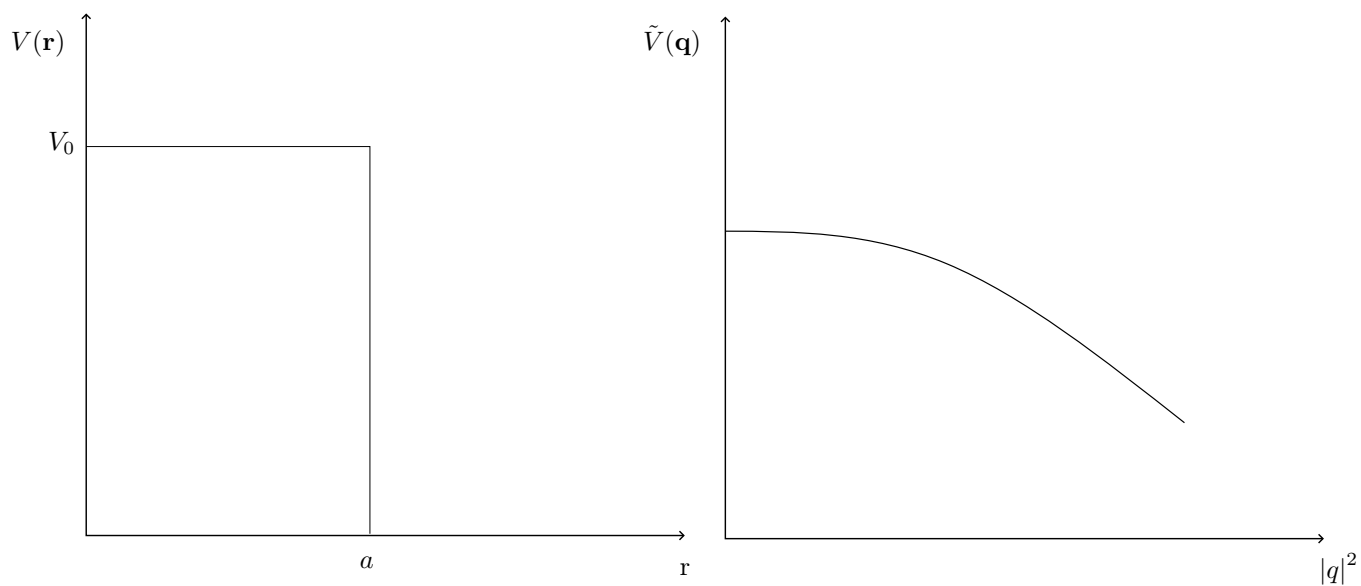


FIGURE 2 – potentiel

$$\tilde{V}(\mathbf{q}) = \int d^3r v(\mathbf{r}) e^{-i\mathbf{q} \cdot \mathbf{r}} \propto a^3 f(x)$$

$$x = |\mathbf{q}|a \quad \text{sans unités}$$

le maximum de q est de $2pa$? vraiment pas sur

$$2a\sqrt{2m_n T_n} = 2 \cdot 5\text{fm} \sqrt{2 \cdot 939\text{MeV} \cdot 0.001\text{MeV}} / (197\text{MeV} \cdot \text{Fm}) \approx 0.07$$

Puisque a est petit, $V(\mathbf{r})$ est *piqué* et donc \tilde{V} est presque constant .